1/10 E.G. Colgan et al. D.P.M. YOR919940065US4

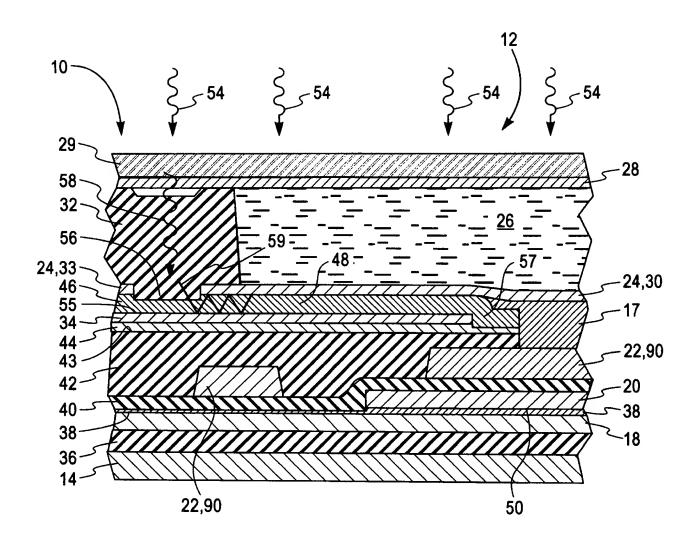
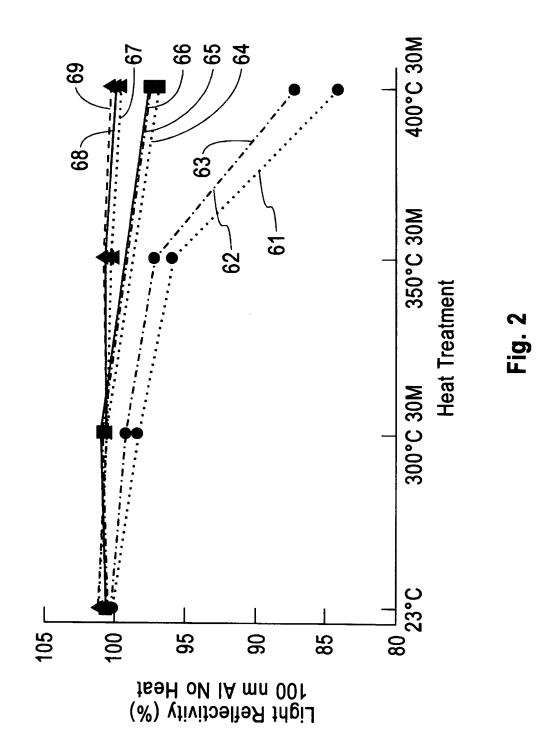
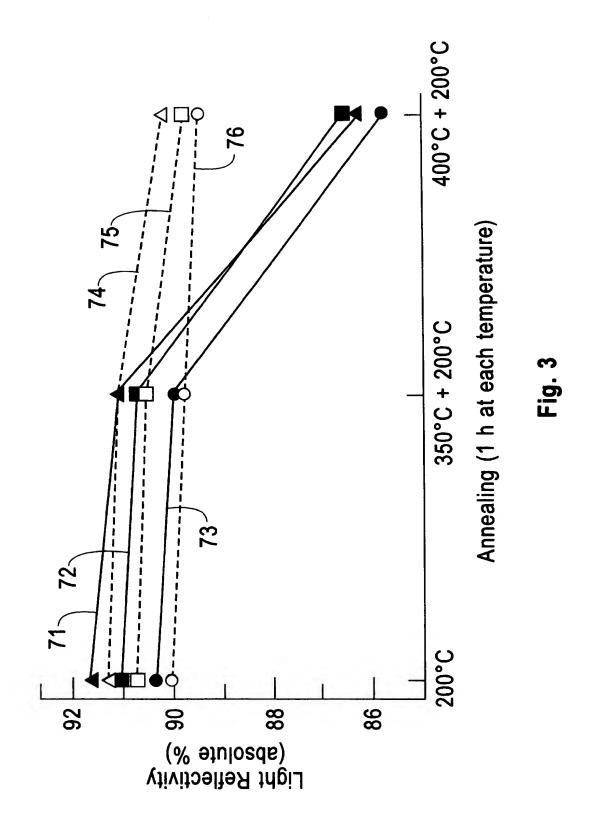


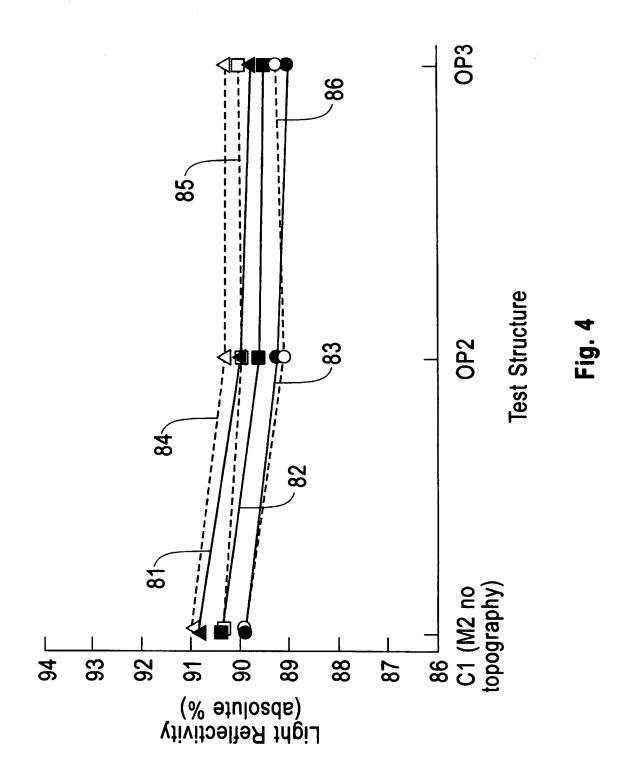
Fig. 1



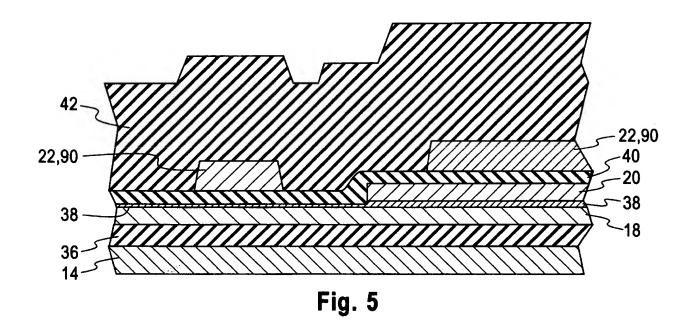
3/10 E.G. Colgan et al. D.P.M. YOR919940065US4



4/10 E.G. Colgan et al. D.P.M. YOR919940065US4



5/10 E.G. Colgan et al. D.P.M. YOR919940065US4



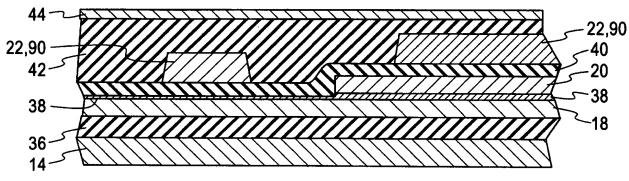


Fig. 6

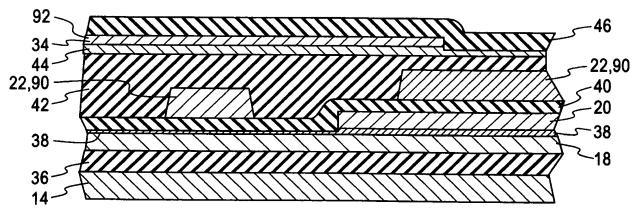
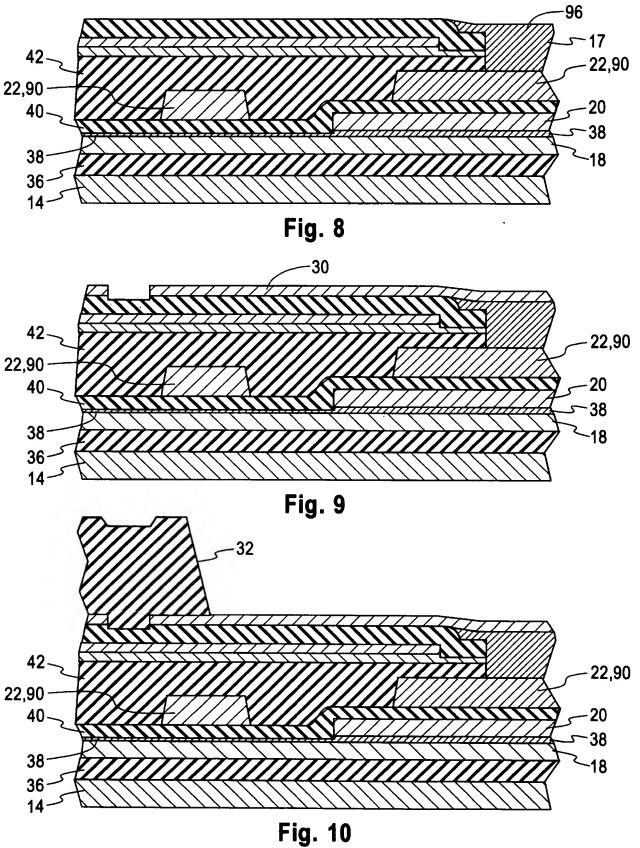


Fig. 7

6/10 E.G. Colgan et al. D.P.M. YOR919940065US4



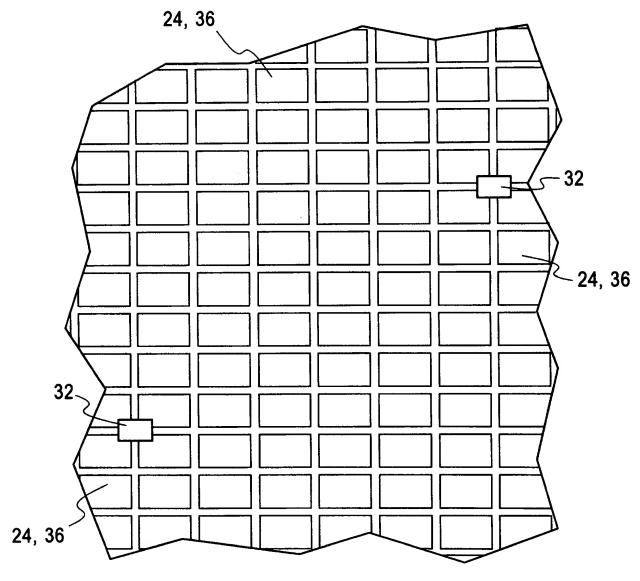


Fig. 11

8/10 E.G. Colgan et al. D.P.M. YOR919940065US4

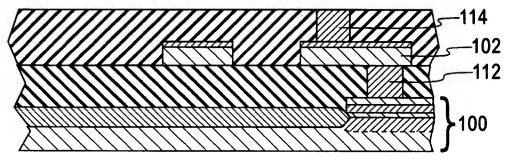


Fig. 12

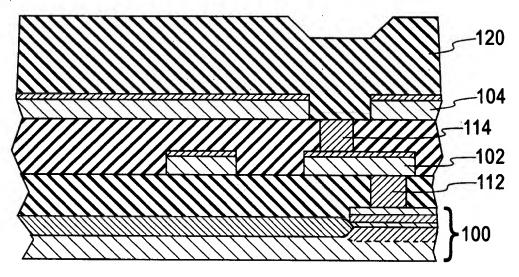


Fig. 13

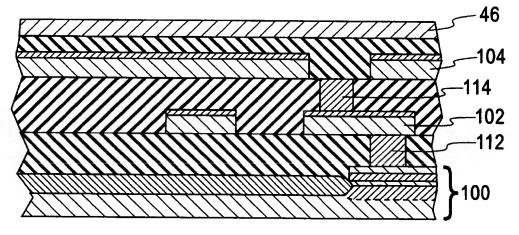


Fig. 14

9/10 E.G. Colgan et al. D.P.M. YOR919940065US4

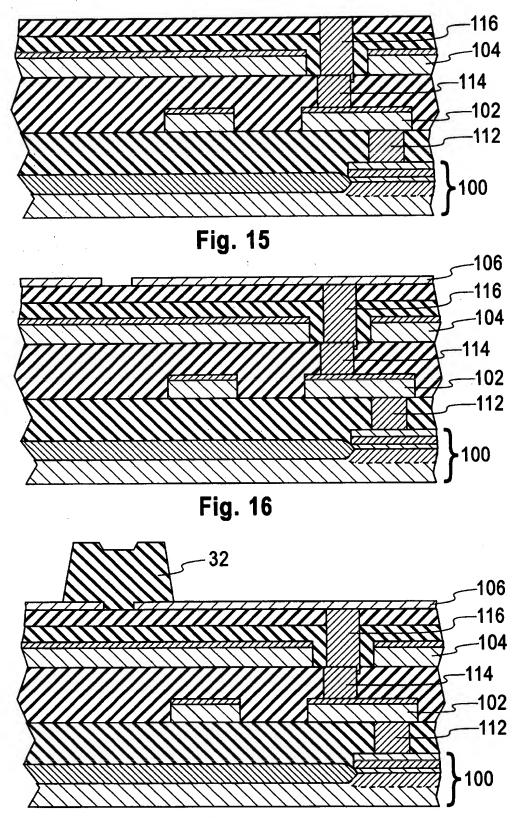


Fig. 17

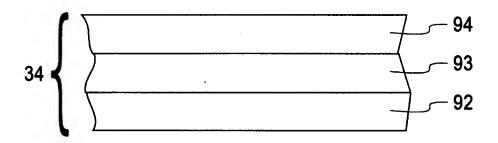


Fig. 18